

# V-11 片持梁の衝撃運動について

防衛大学校 正員 将恒一

均一、延性材質の片持梁が衝撃集中荷重を任意の位置に受けた場合を、弾性及び弾塑性解で取扱つてみた。

図-1に示す片持梁に、固定端( $x=0$ )から  $l_1$  の位置に時間とともに変化する Blast Type の衝撃荷重  $F(t)$  (図-2) が作用したとする。かかる場合、荷重の作用位置、大きさ及び作用時間の長短等によって、梁は弾性段階における運動をおこし、ついで弾塑性段階における運動に進む。(図-3) 弹塑性段階においては塑性ヒンジが固定端だけにおける場合(弾塑性第1変形、図-3, b)からつひで載荷点にも発生する場合(弾塑性第2変形、図-3, c)へと進展して行くものと考えられる。

## 1. 弹性段階における運動

題意による此の梁の強制振動の微分方程式は、回転慣性および剪断力の影響を無視すると次の形で表わされる。

$$\frac{\partial^4 y}{\partial x^4} + \alpha^2 \frac{\partial^2 y}{\partial t^2} = \frac{F(t)}{EI} \sum_n X_n(x) X_n(l_1) \quad (1)$$

ここで  $\alpha^2 = \frac{m}{EI}$  ,  $m$  は単位長あたりの質量,  $EI$  は横曲剛度,  $M_0$  一定  
 $X_n(x)$  は此の梁の振動形態における直交性標準函数

$$\text{境界条件は } x=0; \quad y(0, t) = \frac{\partial y}{\partial x}(0, t) = 0, \quad x=l; \quad \frac{\partial^2 y}{\partial x^2}(l, t) = \frac{\partial^3 y}{\partial x^3}(l, t) = 0 \quad (2)$$

$$\text{初期条件を } y(x, 0) = \frac{\partial y}{\partial t}(x, 0) = 0 \quad (3)$$

境界条件(2)式および初期条件(3)式を満足する(1)式の解は次のようになる

$$t > t_c > 0 \text{ に対して; } y(x, t) = \frac{F_0}{m \alpha^2} \sum_{n=1}^{\infty} \frac{X_n(l_1)}{\sqrt{n}} X_n(x) (1 - \cos \nu_n t) \quad (4.a)$$

$$t > t_c \text{ に対して; } y(x, t) = \frac{F_0}{m \alpha^2} \sum_{n=1}^{\infty} \frac{X_n(l_1)}{\sqrt{n}} X_n(x) (\cos \nu_n (t - t_c) - \cos \nu_n t) \quad (4.b)$$

$$\text{ここで } X_n(x) = \cosh \beta_n x - \cos \beta_n x - \frac{\cosh \beta_n l_1 + \cos \beta_n l_1}{\sinh \beta_n l_1 + \sin \beta_n l_1} (\sinh \beta_n x - \sin \beta_n x), \quad \cosh \beta_n l_1 \cos \beta_n l_1 = -1, \quad \beta_n^2 = \alpha^2 \nu_n^2$$

$$X_n(l_1) = \cosh \beta_n l_1 - \cos \beta_n l_1 - \frac{\cosh \beta_n l_1 + \cos \beta_n l_1}{\sinh \beta_n l_1 + \sin \beta_n l_1} (\sinh \beta_n l_1 - \sin \beta_n l_1)$$

## 2. 弹塑性段階における運動

弾塑性段階における梁の強制振動の解析を次の仮定のもとで進める。すなわち(1). 梁の

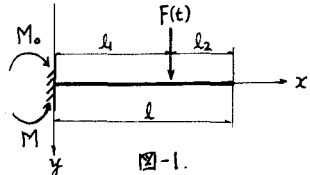


図-1.

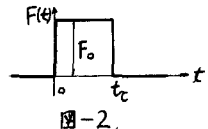


図-2.

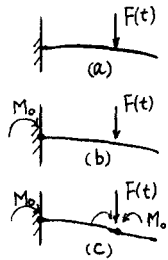


図-3.

塑性ヒンジ降伏場所以外の部分は弾性運動を行いかつ塑性ヒンジの所に生ずる力及びモーメントの作用を受ける。(2). 塑性ヒンジの領域はうすい截面として表わされ、その領域は形及び位置をかえない。(3). 梁は理想塑性材料で、モーメント一曲率の関係は図-4に示すとおりとする。(4). 空速度効果は考慮しない。

### a. 弾塑性第1変形

梁の弾性段階は固定端における曲率モーメントが極限曲率モーメント  $M_0$  になつて時間  $t=t_1$  で終る。此の弾塑性状態においては、固定端は一定モーメント  $M_0$  の強制運動を受け、この撓み角は拘束されない。弾塑性変形が始まる時間  $t_1$  における撓み角及び撓み速度は、(4)式の級数の1項のみの近似式を採用し、 $t_1$  は  $t=0$  附近までおきると仮定すると、次のようになる。

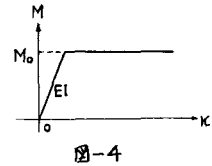


図-4

$$-M(0, t_1) = M_0 = EI \frac{\partial^2 y}{\partial x^2}(0, t) \quad \text{から} \quad \cos \sqrt{s} t_1 = 1 - \frac{\beta^2 l^2 M_0}{2 x(l_1) F_0 l} \quad (5)$$

$$\text{従つて } y(x, t_1) = \frac{M_0 l^2 X(x)}{EI \beta^2 l^2}, \quad \frac{\partial y}{\partial t}(x, t_1) = \frac{a M_0}{2 m} \sqrt{4 R S - 1} \quad (S = \frac{F_0 l \xi}{M_0}, \quad R = \frac{x(l_1)}{\xi \beta^2 l^2}, \quad \xi = \frac{x}{l}) \quad (6)$$

此の状態  $x$  における梁を支配する強制振動の微分方程式は

$$\frac{\partial^4 y}{\partial x^4} + a^2 \frac{\partial^2 y}{\partial t^2} = \frac{F(t)}{EI} \sum_{i=0}^{\infty} Y_i(x) Y_i(l_1) \quad (7)$$

$$\text{境界条件は } x=0; \quad y(0, t) = 0, \quad \frac{\partial^2 y}{\partial x^2}(0, t) = \frac{M_0}{EI}, \quad x=l; \quad \frac{\partial^2 y}{\partial x^2}(l, t) = \frac{\partial^3 y}{\partial x^3}(l, t) = 0 \quad (8)$$

境界条件(8)式および初期条件として(6)式を満足する(7)式の解は次の形で表わされる。

$$y(x, t) = \frac{M_0 l^2}{EI} \left( \frac{x^5}{40 l^5} - \frac{x^3}{4 l^3} + \frac{x^2}{2 l^2} \right) + (A_0 + B_0(t-t_1) + P_0 \frac{(t-t_1)^3}{2}) \frac{\sqrt{3}}{l} x + \sum_{i=1}^{\infty} Y_i(x) (A_i \cos \omega_i(t-t_1) + B_i \sin \omega_i(t-t_1) + P_i) \quad (9)$$

$$\therefore \therefore \therefore \quad Y_i(x) = \frac{\sqrt{2}}{\sqrt{\sinh^2 K_i l - \sin^2 K_i l}} (\sinh K_i l \sin K_i x + \cosh K_i l \sinh K_i x) \quad i > 1$$

$$\text{振動数方程式は } \tanh K_i l = \tan K_i l, \quad K_i l = i \pi + \frac{\pi}{4}, \quad K_i^4 = \omega_i^2 a^2.$$

$$A_0 = \frac{M_0 l^2}{EI} \frac{\sqrt{3}}{l} \left( \frac{1}{\beta^2 l^4} - \frac{11}{140} \right), \quad B_0 = \frac{M_0 l^2}{EI} \frac{\sqrt{3} \sqrt{4 R S - 1}}{a^2 l^2}, \quad P_0 = \frac{M_0 l^2}{EI} \frac{\sqrt{3} (S_1 - 1)}{a^2 l^4} \quad (S_1 = \frac{F_0 l_1}{M_0}), \quad t > t_1; \quad S_1 = 0$$

$$A_i = - \frac{M_0 l^2}{EI} \frac{\beta^2 l^4 (\sinh K_i l + \cosh K_i l)}{K_i^2 l^2 \left( 1 - \frac{\beta^2 l^4}{K_i^2 l^4} \right) \sqrt{\sinh^2 K_i l - \sin^2 K_i l}}$$

$$B_i = - \frac{M_0 l^2}{EI} \frac{\beta^2 l^2 \sqrt{4 R S - 1}}{K_i^2 l^5} \frac{\sqrt{2} (\sinh K_i l + \cosh K_i l)}{\left( 1 - \frac{\beta^2 l^4}{K_i^2 l^4} \right) \sqrt{\sinh^2 K_i l - \sin^2 K_i l}}$$

$$P_i = \frac{M_0 l^2}{EI} \frac{Y_i(l_1)}{\beta^2 K_i^2 l^4} S \left( 1 - \cos \omega_i(t-t_1) \right) \quad t_1 > t > 0 \quad K_i \neq 0$$

$$= \frac{M_0 l^2}{EI} \frac{Y_i(l_1)}{\beta^2 K_i^2 l^4} S \left[ \cos \omega_i(t-t_1) \{ \cos \omega_i(t_1-t_1) - 1 \} + \sin \omega_i(t-t_1) \sin \omega_i(t_1-t_1) \right] \quad t > t_1 \quad K_i \neq 0.$$

以下詳説の如く述べる。  
文献 1. "Impulsive Motion of Elasto-plastic Beams" by H.H. Bleich and M.G. Salvadori, Proc. ASCE, No.287, Sep. 1953, 2. "Beam Vibration with Time-Dependent Boundary Conditions" by R.D. Mindlin and L.E. Goodman, J. Appl. Mech., Dec. 1950